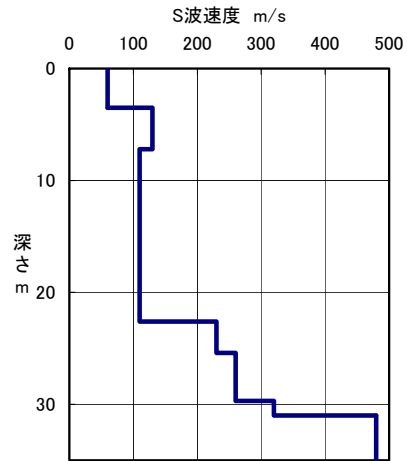
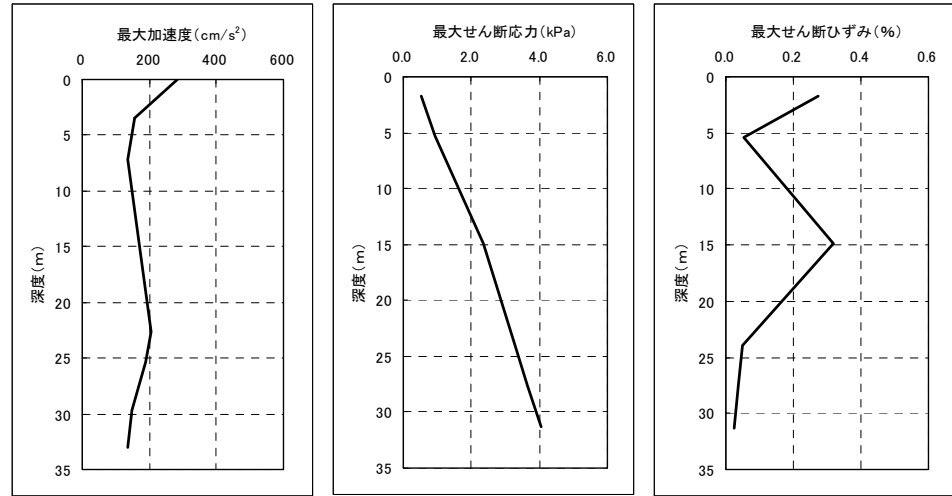


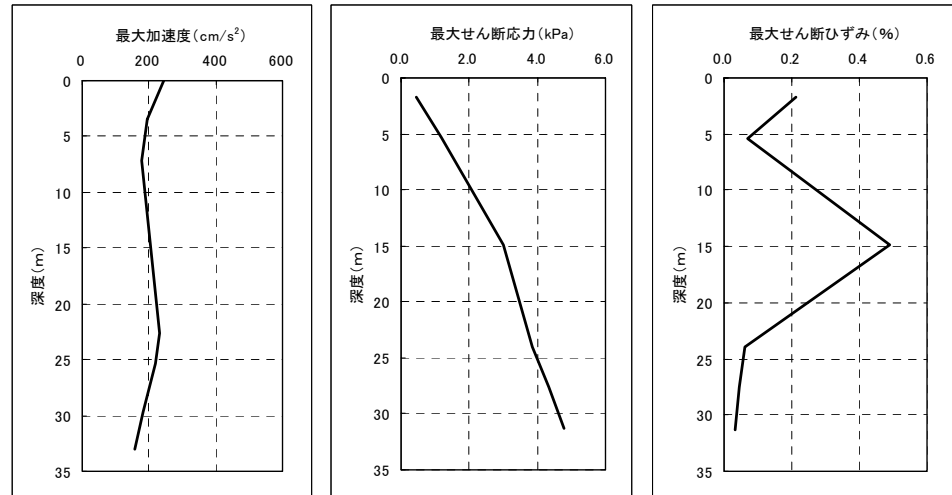
江別市内の参照点の速度構造



南北成分



東西成分

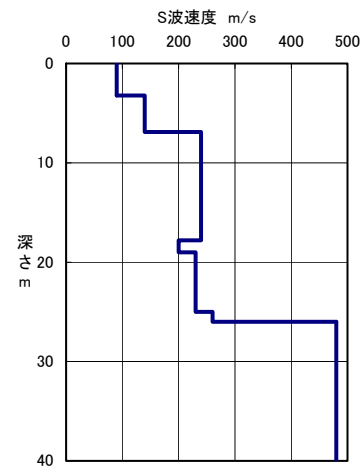


ボーリングデータ

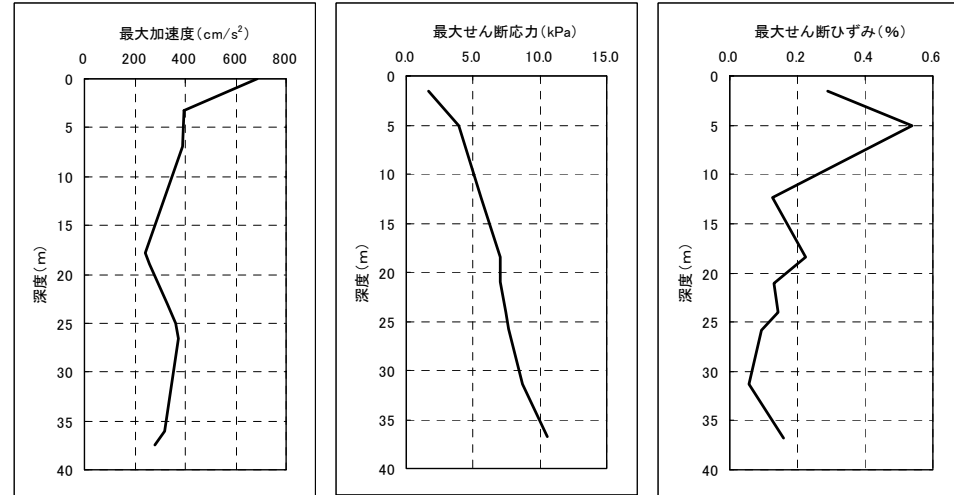
層厚 (m)	S波速度 (m/s)	密度 (tf/m <sup>3</sup> )	G/Go, h- $\gamma$ 曲線
3.5	60	1.2	粘土
3.7	130	1.8	砂
15.4	110	1.4	粘土
2.8	230	1.6	粘土
4.3	260	1.8	粘土
1.3	320	1.8	粘土
—	480	1.9	—

図 20-1 「浅い地盤構造」のモデルと一次元地震応答計算による最大加速度・最大せん断応力・最大せん断ひずみ分布（江別市内）

岩見沢市内の参照点の速度構造



南北成分



ボーリングデータ

石狩平野 (岩見沢市:415454)

層厚 (m)	S波速度 (m/s)	密度 (tf/m <sup>3</sup> )	G/Go, h- $\gamma$ 曲線
3.2	90	1.6	粘土
3.7	140	1.8	砂
10.9	240	1.9	砂
1.2	200	1.7	粘土
4.1	230	1.8	粘土
1.9	230	1.7	粘土
1.6	260	1.8	粘土
9.5	390	2.1	砂礫
1.4	260	1.8	粘土
—	480	1.9	—

東西成分

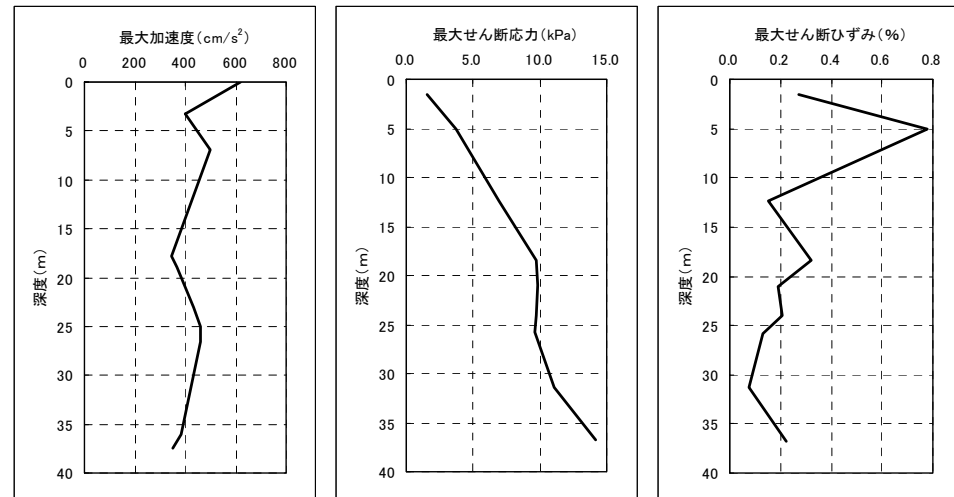


図20-2 「浅い地盤構造」のモデルと一次元地震応答計算による最大加速度・最大せん断応力・最大せん断ひずみ分布 (岩見沢市内)